

GD244

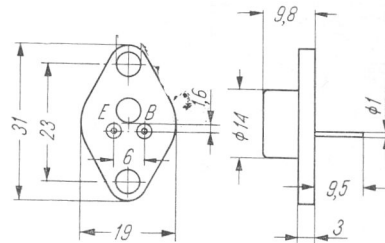
Typ tranzystora: tranzystor germanowy

Firma: RFT

Wykonanie: tranzystor germanowy stopowy p-n-p w obudowie metalowej, ciężar około 12 G

Zastosowanie: wzmacniacze stopni wyjściowych, parowane do układów przeciwobnych m.cz. układy przełączające do 70 V

Typy podobne: 2N268 (ITT), AD132 (Siem), 6NU73 (Tes), П215 (ZSRR)



Rys. 1-722. GD244

Wartości charakterystyczne¹⁾

	min	typ	max		
$-I_{CB0}$		35	100	μA	przy $-U_{CB} = 6 \text{ V}$
$-I_{CEV}$		0,06	1	mA	przy $-U_{CE} = 30 \text{ V}$, $U_{BE} = 1 \text{ V}$
$-I_{CES}$		0,5	2,5	mA	przy $-U_{CE} = 75 \text{ V}$
$-I_{EB0}$		50	500	μA	przy $-U_{CE} = 20 \text{ V}$
$-U_{CEsat}$		0,25	0,6	V	przy $-I_B = 0,5 \text{ A}$, $-I_C = 3 \text{ A}$
$-U_{BE}$		0,35	0,7	V	przy $-U_{CE} = 6 \text{ V}$, $-I_C = 0,5 \text{ A}$
$-U_{BE}$		0,75	1,4	V	przy $-U_{CE} = 2 \text{ V}$, $-I_C = 2 \text{ A}$
f_T	300			MHz	przy $-U_{CE} = 6 \text{ V}$, $-I_C = 0,1 \text{ A}$
$h_{21E} \text{ (A)}$	18		35		} przy $-U_{CE} = 2 \text{ V}$, $-I_C = 2 \text{ A}$
$h_{21E} \text{ (B)}$	28		56		
$h_{21E} \text{ (C)}$	45		90		
h_{21E}	40				przy $-U_{CE} = 6 \text{ V}$, $-I_C = 0,5 \text{ A}$
$h_{21E}(2,0 \text{ A})$		0,5			} przy $-U_{CE} = 2 \text{ V}$, $-I_C = 2 \text{ A}$ $-I_C = 0,5 \text{ A}$
$h_{21E}(0,5 \text{ A})$					
$\frac{I_{B1}^{2)}$		0,833	1,2		} przy I_{B1} : $-U_{CE} = 6 \text{ V}$, $-I_C = 0,5 \text{ A}$ I_{B2} : $-U_{CE} = 2 \text{ V}$, $-I_C = 3 \text{ A}$
I_{B2}					
$\frac{U_{BE1}^{2)}$		0,833	1,2		} przy $-U_{CE} = 2 \text{ V}$, $-I_{CE} = 3 \text{ A}$
U_{BE2}					
t_{ON}		16	32	μs	
t_s		7	14	μs	
t_f		10	20	μs	
m		3			

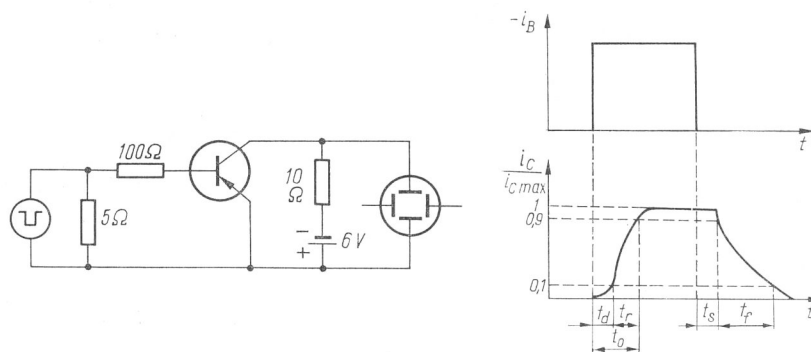
¹⁾ $t_{amb} = 25^\circ\text{C} (-5^\circ\text{C})$

²⁾ warunek dobierania parami

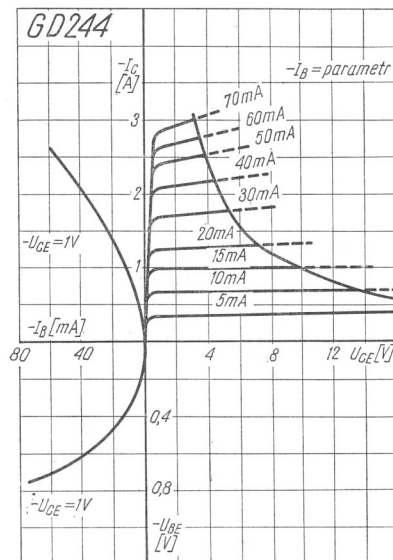
Wartości graniczne

$-U_{CBO} \text{ max}$	75	V	$I_E \text{ max}$	3,6	A
$-U_{CEr} \text{ max}$	70 ³⁾	V	$-I_B \text{ max}$	0,6	A
$-U_{CES} \text{ max}$	75	V	$t_j \text{ max}$	85	°C
$-U_{EBO} \text{ max}$	20	V	t_{amb}	-25 ÷ +65	°C
$P_{tot} \text{ max}$	10	W	$R_{thj-c} \text{ max}$	4	°C/W
$-I_C \text{ max}$	3,0	A			

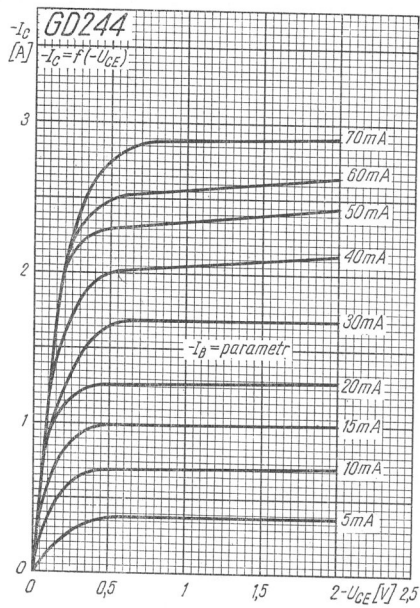
3) $R_{BE} = 50 \Omega$



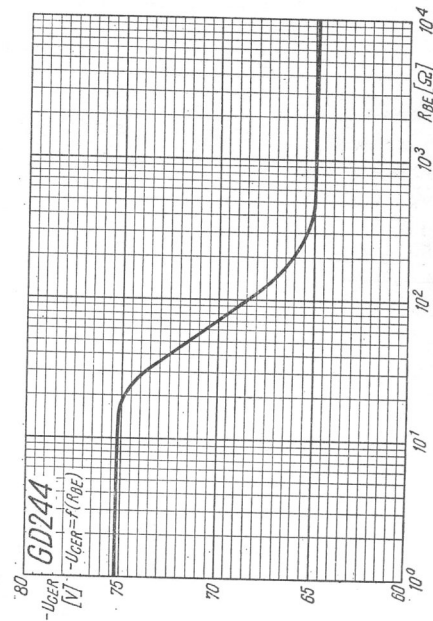
Rys. 1-723. Układ pomiarowy czasów przełączania



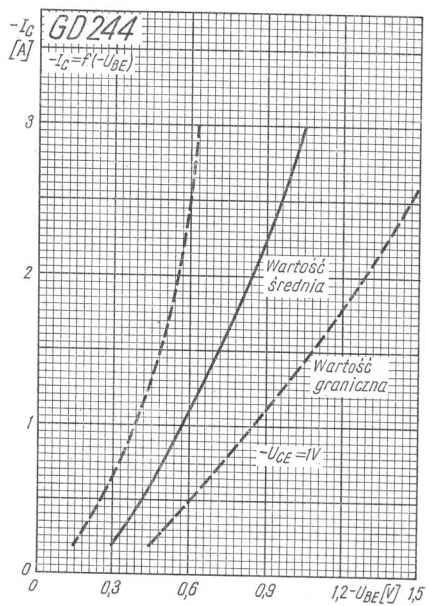
Rys. 1-724. Charakterystyki statyczne



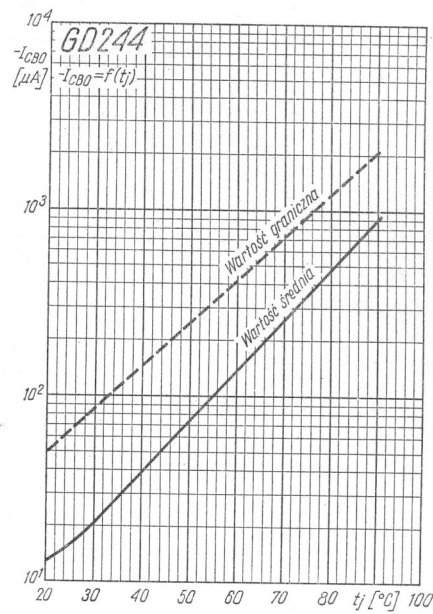
Rys. 1-725. Charakterystyki wyjściowe



Rys. 1-726. Zależność napięcia kolektora od rezystancji R_{BE}



Rys. 1-727. Charakterystyki sterowania napięciowego



Rys. 1-728. Zależność prądu zerowego kolektora od temperatury złącza